ФИЗИЧЕСКИЕ МЕТОЛЫ ИССЛЕЛОВАНИЯ

УДК 544.031,544.032.4

ПЕРЕСМОТР ДАННЫХ ПО ТЕРМОХИМИИ ФТОРИДОВ СКАНДИЯ

© 2023 г. М. И. Никитин^а, Д. Б. Каюмова^а, А. С. Алиханян^{а, *}

^аИнститут общей и неорганической химии им. Н.С. Курнакова РАН, Ленинский пр-т, 31, Москва, 119991 Россия

*e-mail: alikhan@igic.ras.ru
Поступила в редакцию 26.03.2023 г.
После доработки 06.07.2023 г.
Принята к публикации 13.07.2023 г.

Проведен критический анализ литературных данных по исследованию равновесий газофазных реакций с участием фторидов скандия и монофторидов кальция и бария. Рекомендованы наиболее надежные величины $\Delta_f H^\circ(0)$ газообразных ScF $_3$ (-1251 ± 15 кДж/моль), ScF $_2$ (-683 ± 10 кДж/моль) и ScF (-141 ± 6 кДж/моль). Эти значения и энергии последовательного отрыва атомов фтора хорошо согласуются с данными, полученными в результате квантово-механических расчетов.

Ключевые слова: фториды скандия, энтальпии образования, энергии разрыва связей, масс-спектрометрическое исследование равновесий

DOI: 10.31857/S0044457X23601001, EDN: RLDJOR

ВВЕДЕНИЕ

Среди 3*d*-металлов скандий занимает особое место. При сравнимом наборе областей их применения его годовое производство не превышает 20 т, однако прогнозируется наращивание его производства в будущем [1]. Это не удивительно, поскольку скандий все чаще находит применение в системах выработки и хранения энергии, например, в твердооксидных топливных элементах [2] и для производства "зеленой" энергии [3]. Предполагается, что оксиды и фториды скандия могут сыграть важную роль в энергетическом переходе и инновационных технологиях по сокращению выбросов СО₂ [4]. Кроме того, трифторид скандия привлекает внимание как материал с отрицательным тепловым расширением и размягчением под давлением [5]. Скандий рассматривается как стратегический ресурс, и отсутствие его месторождений в Европе заставляет исследователей искать процессы промышленного получения скандия из отходов других производств [6].

На сегодняшний день одним из основных способов получения металлического скандия является металлотермическое восстановление безводного ScF_3 при помощи алюминия, кальция или магния [7]. В целом достаточно отработанная технология позволяет получать металлический скандий чистотой 99.99% и более.

К сожалению, опубликовано мало экспериментальных работ по термическому поведению фторидов скандия, и полученные в них результаты несколько разнятся. В связи с этим целью настоя-

щей работы является выбор наиболее достоверных результатов для включения их в базы данных термодинамических характеристик фторидов и поиска корреляционных зависимостей с их участием. При этом необходимо использовать единую базу данных термодинамических функций и минимальное количество соединений с наиболее достоверными и точными энтальпиями образования.

ЛИТЕРАТУРНЫЕ ЭКСПЕРИМЕНТАЛЬНЫЕ ДАННЫЕ И ИХ АНАЛИЗ

Фторид скандия(III)

Фторид скандия(III) имеет несколько полиморфных модификаций [8-10], некоторые из них устойчивы только при высоком давлении. Исследование устойчивости кубической, ромбоэдрической и орторомбической фаз [8] показало, что ромбическая фаза метастабильна при нормальных условиях, а кубическая фаза вообще не обнаружена. Методом ИК-спектроскопии в азотной, аргоновой и неоновой матрицах было показано, что изолированная молекула ScF₃ имеет планарное строение с симметрией D_{3h} или C_{3v} [11]. В работе [12] масс-спектральным методом были определены энтальпия сублимации и давление паров трифторида скандия. Стандартная энтальпия образования кристаллического трифторида скандия $\Delta_t H^{\circ}(ScF_3, \kappa, 298.15 \text{ K}) = -1629 \pm 8 \kappa Дж/моль,$ определенная методом фторной калориметрии [13], принята в [14] и в настоящей работе.

Термодинамические функции газообразного ScF_3 рассчитаны в [15]. Проведенная в работе [14] по литературным данным [16] оценка низкотемпературной теплоемкости $ScF_3(\kappa)$ позволила уточнить термодинамические функции кристаллического ScF_3 . В работе [14] проанализированы опубликованные ранее результаты измерений давления насыщенного пара ScF_3 и рекомендованы новые значения: $\Delta_s H^o(ScF_3, 0) = 375 \pm 8$ и $\Delta_s H^o(ScF_3, \Gamma, 0) = -1251 \pm 15$ кДж/моль. Известна только одна газовая реакция с участием газообразного ScF_3 , равновесие которой исследовали в [17] (см. ниже).

Низшие фториды скандия

Равновесия реакций с участием газообразных низших фторидов скандия исследовали в [17, 18] эффузионным методом Кнудсена. В обеих работах для анализа состава насыщенного пара и расчета парциальных давлений использовали метод высокотемпературной масс-спектрометрии. Ионизацию проводили электронным ударом при энергиях электронов на 5 эВ выше энергии появления молекулярного иона, определенной в этой же работе. Константы равновесия изомолекулярных газовых реакций рассчитывали как комбинации парциальных давлений, прямо пропорциональных соответствующим ионным токам. Подробнее данные [17, 18] рассмотрены ниже.

Данные работы [17]. При нагревании металлического скандия и фторида кальция(II) в танталовой эффузионной камере до 1325-1485 К в газовой фазе были обнаружены молекулы CaF, ScF₃, ScF₂, ScF и атомы Sc и Ca, связанные между собой несколькими реакциями (уравнения (1)—(3)). Результаты, полученные авторами, были представлены в виде точек на графиках температурных зависимостей констант равновесий этих реакций.

Оцифрованные данные из работы [17] приводят к следующим уравнениям (числа при уравнениях, включающих K° , — коэффициенты корреляции):

$$CaF + Sc = Ca + ScF,$$
(1)

$$0.999 \quad \lg K^{\circ}(1) = -(1.303 \pm 0.040) +$$

$$+ (3500 \pm 56)/T, \quad 2CaF + Sc = 2Ca + ScF_2,$$
(2)

$$0.993 \quad \lg K^{\circ}(2) = -(2.118 \pm 0.260) +$$

$$+ (6828 \pm 365)/T, \quad 3CaF + Sc = 3Ca + ScF_3,$$
(3)

$$0.996 \quad \lg K^{\circ}(3) = -(4.096 \pm 0.300) +$$

$$+ (12701 \pm 421)/T.$$

Рассчитанные по этим уравнениям в соответствии с III законом энтальпии реакций показаны в табл. 1. Для удобства дальнейшего сравнения с результатами [18] расчеты выполнены с термодинамическими функциями ScF и ScF₂ из [18], остальных участников — из [19].

Данные работы [18]. Методически эксперимент в [18] отличается использованием двойной эффузионной камеры из молибдена. Это позволило поднять температуру в "горячей" камере до 1946—2207 К, где и устанавливалось равновесие реакций в перегретом паре. Низшие фториды скандия и бария и атомы Sc и Ва образовывались в ней при восстановлении металлическим цирконием паров фторидов скандия(III) и бария(II), поступающих из "холодной" камеры.

Результаты расчетов энтальпий реакций:

$$Sc + BaF = ScF + Ba,$$
 (4)

$$Sc + ScF_2 = 2ScF, (5)$$

0.980
$$\lg K^{\circ}(5) = (0.649 \pm 0.054) - (2105.5 \pm 112.9) / T$$
,

выполненные по III закону с набором термодинамических функций из тех же источников, что и выше, представлены в табл. 2.

Общим недостатком работ [17, 18] является отсутствие первичных экспериментальных данных и проверки достижения реакциями равновесия. Обычно авторы [18] показывали в своих работах независимость K° от парциальных давлений участников реакции при постоянной температуре, которые могли меняться регулированием температуры "холодной" камеры.

Следует также отметить ряд вызывающих вопросы моментов:

- 1) в [17, 18] обнаружено присутствие в массспектрах молекулярного иона ScF_3^+ , но реакции с участием ScF_3 в [18] не рассматриваются;
- 2) в [17] на единственном рисунке кривых эффективности ионизации не указана температура;
- 3) и в [17], и в [18] не отмечен характер взаимодействия материалов эффузионных камер с исследуемыми веществами;
- 4) в [18] сказано о восстановлении ScF_3 металлическим цирконием, очевидно, с образованием зарегистрированных в паре фторидов Zr, но равновесия реакций с их участием не рассматриваются.

Все это позволяет провести только ограниченный анализ полученных в работах [17, 18] результатов.

Средние арифметические значения энтальпий реакций, полученных из уравнений температурных зависимостей констант равновесий (II закон) и табл. 1 и 2, приведены в табл. 3. Для величин энтальпий реакций даны погрешности, определяемые воспроизводимостью. При выборе рекомендованных значений энтальпий образования использовали энтальпии реакций, рассчитанные только по III закону. Их погрешности, как и погрешности реакций (1)—(5) в табл. 3, определяются главным образом погрешностями энтальпий обра-

Таблица 1. Термодинамические характеристики реакций (1)—(3). $\lg K^{\circ}(N^{*})$ из [17], [$\Delta_{r}H^{\circ}((N) 0)$], кДж/моль

<i>T</i> , K	lg K⁰(1)	$-\Delta_r H^{\circ}((1) \ 0)$	$\lg K^{\circ}(2)$	$-\Delta_r H^{\circ}((2) \ 0)$	$\lg K^{\circ}(3)$	$-\Delta_r H^{\circ}((3)\ 0)$
1487	_	_	_	_	4.415	264.1
1485	1.054	63.3	2.515	136.8	_	_
1474	1.069	63.2	2.477	134.8	_	_
1473	_	_	2.600**	138.1**	_	_
1471	_	_	_	_	4.508	263.7
1462	1.123**	64.2**	_	_	4.615	265.2
1441	1.131	63.5	2.623	135.6	4.731	264.3
1413	1.138**	62.5**	_	_	_	_
1411	_	_	2.615**	132.7**	4.946	265.0
1406	_	_	2.754	136.0	_	_
1397	_	_	2.685**	133.3**	_	_
1396	1.200	63.4	_	_	4.985	263.2
1393	1.238**	64.3**	2.854**	137.3**	5.054	264.3
1368	1.262	63.7	2.846	134.7	5.162	262.5
1346	1.292	63.5	2.954	135.2	5.392	263.9
1331	_	_	3.031	135.8	_	_
1325	1.342	63.7	_	_	_	_
1320	_	_	_	_	5.477	261.2

Таблица 2. Термодинамические характеристики реакций (4), (5). [$\Delta_r H^{\circ}((N^*) \ 0)$], кДж/моль

<i>T</i> , K	<i>K</i> °(4) [18]	$\Delta_r H^{\circ}((4)\ 0)$	$K^{\circ}(5)$ [18]	$\Delta_r H^{\circ}((5)\ 0)$	T, K [17]	$\lg K^{\circ}(5)$ [17]	$\Delta_r H^{\circ}((5) \ 0)$
1946	0.191	-15.1	0.370	24.2	1485	-0.369	11.0
1946	0.200	-15.8	0.360	24.7	1474	-0.462	13.5
1986	0.185	-14.3	0.399**	24.0**	1462	-0.377	11.0
1986	0.185	-14.3	0.407**	23.6**	1441	-0.354	10.2
2021	0.194	-14.8	0.411	24.3	1413	-0.477	13.3
2021	0.192	-14.7	0.408	24.4	1396	-0.285	8.1
2054	0.200	-15.1	0.430	24.3	1393	-0.295	10.5
2054	0.190	-14.3	0.420	24.7	1368	-0.323	8.9
2071	0.190	-14.1	0.417	25.2	1346	-0.369	9.9
2071	0.197	-14.8	0.444	24.2	1325	-0.348	9.2
2103	0.181	-13.0	0.442	25.0			
2103	0.183	-13.2	0.431	25.4			
2133	0.184	-13.1	0.462	25.0			
2133	0.193	-13.9	0.459	25.1			
2159	0.190	-13.4	0.430**	26.9**			
2159	0.190	-13.4	0.440**	26.5**			
2175	0.210	-15.1	0.490	24.9			
2175	0.190	-13.3	0.480	25.3			
2207	0.210	-14.8	0.490	25.7			
2207	0.210	-14.8	0.490	25.7			

^{*} N — номер реакции.

^{*} *N* – номер реакции.
** Измерения в дальнейших расчетах не использовали.

^{**} Измерения в дальнейших расчетах не использовали.

Реакция, ссылка	Параметр	II закон	III закон	
(1) [17]	$\Delta_{r}H^{\circ}(1400 \text{ K})$ $\Delta_{r}H^{\circ}(0)$ $\Delta_{r}S^{\circ}(1400 \text{ K})$ $\Delta_{f}H^{\circ}((\text{ScF}), 0)$	$ \begin{array}{c} -65.2 \pm 3.3 \\ -74.2 \\ -23.6 \pm 2.4 \\ - \end{array} $	$ -63.49 \pm 0.19 $ $ -16.0 $ $ -140 \pm 6 $	
(2) [17]	$\Delta_{r}H^{\circ}(1400 \text{ K})$ $\Delta_{r}H^{\circ}(0)$ $\Delta_{r}S^{\circ}(1400 \text{ K})$ $\Delta_{f}H^{\circ}((\text{ScF}_{2}), 0)$	$-130.7 \pm 7.0 \\ -134.8 \\ -40.6 \pm 5.0 \\ -$	$ -135.55 \pm 0.7 -41.023 -655 \pm 8 $	
(3) [17]	$\Delta_{r}H^{\circ}(1400 \text{ K})$ $\Delta_{r}H^{\circ}(0)$ $\Delta_{r}S^{\circ}(1400 \text{ K})$ $\Delta_{f}H^{\circ}((\text{ScF}_{3}), 0)$	$-256.7 \pm 7.3 \\ -267.623 \\ -88.1 \pm 5.2 \\ -$	$ -262.70 \pm 0.64 -85.3 -1245 \pm 10 $	
(4) [18]	$\Delta_r H^{\circ}(2100 \text{ K})$ $\Delta_r H^{\circ}(0)$ $\Delta_r S^{\circ}(200 \text{ K})$ $\Delta_f H^{\circ}((\text{ScF}), 0)$	Большой разброс экспериментальных данных	$ \begin{array}{c} -14.26 \pm 0.81 \\ -141 \pm 6 \end{array} $	
(5) [18]	$\Delta_r H^{\circ}(2100 \text{ K})$ $\Delta_r H^{\circ}(0)$ $\Delta_r S^{\circ}(2100 \text{ K})$ $\Delta_f H^{\circ}((\text{ScF}_2), 0)$	40.3 ± 2.2 15.3 12.4 ± 1.0	$ \begin{array}{c} -\\ 24.88 \pm 0.50\\ 16.995\\ -683 \pm 10 \end{array} $	
(5) [18]	$\Delta_{r}H^{\circ}(1400 \text{ K})$ $\Delta_{r}H^{\circ}(0)$ $\Delta_{r}S^{\circ}(1400 \text{ K})$	-5.1 ± 4.9 -20.7 -10.5 ± 2.4	- 10.1 ± 0.8 11.5	

Таблица 3. Сравнение термодинамических характеристик реакций, рассчитанных по II и III законам ($[\Delta_{\kappa}S^{\circ}]$, Дж/(моль K), $[\Delta_{\kappa}H^{\circ}]$, кДж/моль)

зования соединений CaF (5.1 кДж/моль) и BaF (6.7 кДж/моль). Для последних приведены значения, округленные до ближайшего целого числа.

 $\Delta_f H^{\circ}((ScF_2), 0)$

Большой разброс величин $\lg K^{\circ}(4)$ в [18] делает расчеты по II закону нецелесообразными. Несмотря на это, из данных табл. 3 видно, что погрешность определяемая воспроизводимостью $\Delta_r H^{\circ}((4), 0)$ невелика, а $\Delta_r H^{\circ}((ScF), r, 0)$ оказывается практически такой же, как и рассчитанная по реакции (1) [17]. Учитывая хорошее совпадение значений $\Delta_r H^{\circ}((1), 0)$, найденных по II и III законам, для газообразного ScF рекомендована средняя арифметическая величина $\Delta_r H^{\circ}((ScF), r, 0) = -141 \pm 6 \, \text{кДж/моль}.$

Идеального совпадения расчетов $\Delta_r H^{\circ}(2)$ и $\Delta_r S^{\circ}(2)$ по II и III законам недостаточно для установления надежного значения $\Delta_f H^{\circ}((ScF_2), \ \Gamma, \ 0)$. Подобный случай рассмотрен в [20].

В настоящей работе имеет смысл сравнить значения $K^{\circ}(5)$ из [17] и рассчитанные по данным из [17] (табл. 2), наглядно это видно на рис. 1. Точки из работы [18] вполне удовлетворительно ложатся на прямую линию с приемлемым коэффициентом

корреляции и показывают хорошее совпадение расчетов по II и III законам, т.е. выполняется необходимый признак равновесия. Точки из [17] лежат гораздо правее прямой линии, это означает недостижение равновесия реакции (5) и, соответственно, реакции (2). Причиной этого может быть зависимость потоков фторидов скандия, образующихся на поверхности металлического скандия и/или кристаллического фторида кальция(II), от активностей (или меняющихся площадей поверхности) компонентов конденсированной фазы. По указанным выше причинам анализ, подобный проведенному в [20] для фторидов иридия, невозможен. Рекомендованной принята величина $\Delta_f H^{\circ}(ScF_2, \Gamma, 0) = -683 \pm 10 \text{ кДж/моль, рассчитан-}$ ная по данным [18].

 -667 ± 12

Величина $\Delta_f H^{\circ}(\mathrm{ScF_3}, \mathrm{r}, 0) = -1251 \pm 15 \,\mathrm{кДж/моль},$ полученная в [14], принята в этой работе как рекомендованная. Близкое значение ($-1245 \,\mathrm{кДж/моль}$) получено в работе [17] по реакции (3). Исключение его из числа надежных следует из-за возмож-

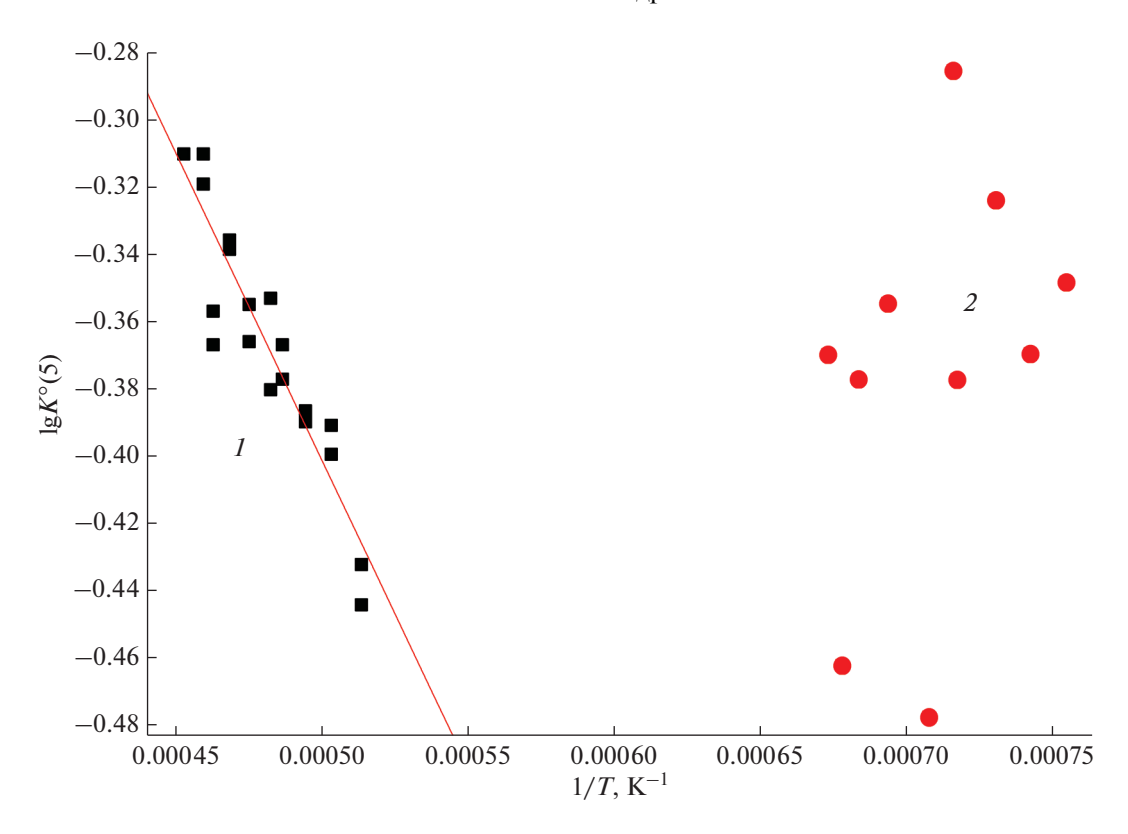


Рис. 1. Температурные зависимости константы равновесия реакции (5) из работ [17] (1) и [18] (2). $\lg K^{\circ}(5) = (0.513 \pm 0.079) - (1826.6 \pm 164.9)/T$. Коэффициент корреляции аппроксимирующей прямой равен 0.93384.

ного недостижения равновесного давления фторида скандия(III) (см. выше).

В табл. 4 проведено сравнение полученных в данной работе итоговых результатов с литературными данными и рассчитанными по ним энергиями разрыва связей.

Как правило, экспериментальные материалы об энергетике молекул появлялись раньше квантово-химических расчетов и служили критерием

правильности последних. Сравнение результатов работ [21–23] показывает очевидный прогресс расчетных работ. Совпадение в пределах погрешностей энергий разрыва связей для фторидов скандия, рассчитанных в [23] и определенных экспериментально, указывает на близость к тому времени, когда ситуация сменится на противоположную. Квантово-химические расчеты давно превзошли заявленную ранее цель "химической точности" (±1 ккал/моль) [24] и уже способны оценивать

Таблица 4. Стандартные энтальпии образования и энергии разрыва связей молекул фторидов скандия, кДж/моль

Ссылка	_	$\Delta_f H^{\circ}((\operatorname{ScF}_n), \Gamma, 0)$)*	$D_0^{\circ} (\operatorname{ScF}_n - \operatorname{F})$		
	3	2	1	2	1	0
[17]	1245 ± 10	666.8	141 ± 6	655.5	603.8	593.5
[18]		683 ± 10	141 ± 10	648.8	619.0	593.9
[23]	1263.8**	686.3**	136.3**	654.8	627.2	571.5
[14]	1251 ± 15	_	_	_	_	_
[21]						602
[22]						579
Настоящая работа	1251 ± 15	683 ± 10	141 ± 6	645.4	619.5	593.9

^{*} Погрешности энтальпий образования ScF_n включают: погрешности энтальпий реакций (1)—(5) и энтальпий образования участвующих в них газообразных Ca, CaF, BaF, Sc, ScF $_3$ [13, 18] и ScF из настоящей работы. ** Рассчитано по $\Delta_{\rm ar} H^{\circ}(ScF_n, 0)$ [23].

энергию связи с точностью до 1 кДж/моль [25, 26]. Такое положение дел потребует от экспериментаторов более тщательного планирования опытов и публикации не только "целевых" результатов, но и сопровождающую их дополнительную информацию.

ЗАКЛЮЧЕНИЕ

Рекомендованные величины стандартных энтальпий образования фторидов скандия представляются вполне надежными и могут быть включены в справочные издания и использоваться в научных и технических расчетах.

ФИНАНСИРОВАНИЕ РАБОТЫ

Работа выполнена в рамках государственного задания ИОНХ РАН в области фундаментальных научных исследований.

КОНФЛИКТ ИНТЕРЕСОВ

Авторы заявляют, что у них нет конфликта интересов.

СПИСОК ЛИТЕРАТУРЫ

- 1. *Phoung S., Williams E., Gaustad G. et al.* // J. Clean. Prod. Elsevier. 2023. V. 401. P. 136673. https://doi.org/10.1016/j.jclepro.2023.136673
- Zakaria Z., Kamarudin S.K. // Int. J. Energy Res. 2021.
 V. 45. P. 4871.
 https://doi.org/10.1002/er.6206
- 3. *Tang Y., Ding L.P., Dou X.L. et al.* // Inorg. Chem. 2022. V. 61. № 39. P. 15569. https://doi.org/10.1021/acs.inorgchem.2c02314
- 4. *van der Laan H., Orberger B., Dittrich C. et al.* // Light Metals. 2023. The Minerals, Metals & Materials Series. Springer, Cham. https://doi.org/10.1007/978-3-031-22532-1 161
- 5. Botelho A.B. Jr, Espinosa D.C.R., Vaughan J., Tenório J.A.S. // Miner. Eng. 2021. V. 172. P. 107148. https://www.sciencedirect.com/science/article/abs/pii/S0892687521003770
- Wei Z., Tan L., Cai G. et al. // Phys. Rev. Lett. 2020.
 V. 124. № 25. P. 255502.
 https://doi.org/10.1103/PhysRevLett.124.255502
- 7. Wang C. Theory and Application of Rare Earth Materials. Singapore: Springer, 2023. https://doi.org/10.1007/978-981-19-4178-8_19
- Aleksandrova M.M., Bendeliani N.A., Blank V.D. et al. // Izv. Akad. Nauk SSSR, Neorg. Mater. 1990. V. 26. P. 1028.

- 9. *Melnikov P., Komissarova L.N.* // J. Phys. Chem. Solids. 2006. V. 67. № 8. P. 1899. https://doi.org/10.1016/j.jpcs.2006.03.006
- de Araujo F.M.F., Duarte-Ruiz D., Saβnick H.D. et al. // Inorg. Chem. 2022. V. 62. P. 4238. https://doi.org/10.1021/acs.inorgchem.2c04357
- 11. *Hastie J.W.*, *Hauge R.*, *Margrave J.* // J. Less Common Met. 1975. V. 39. № 2. P. 309. https://doi.org/10.1016/0022-5088(75)90205-2
- Kent R.A., Zmbov K.F., Kana'an A.S. et al. // J. Inorg. Nucl. Chem. 1966. V. 28. P. 1419. https://doi.org/10.1016/0022-1902(66)80174-4
- 13. Wagman D.D., Evans W.H., Parker V.B. et al. Selected Values of Chemical Thermodynamic Properties. National Bureau of Standards. Technical Note 270-5. Washington, 1971.
- 14. *Осина Е.Л., Горохов Л.Н.* // Теплофизика высоких температур. 2017. Т. 55. № 4. С. 631.
- 15. *Осина Е.Л., Гусаров А.В.* // Теплофизика высоких температур. 2015. Т. 53. № 6. С. 858.
- 16. *Romao C.P., Morelock C.R., Johnson M.B. et al.* // J. Mater. Sci. 2015. V. 50. № 9. P. 3409.
- Zmbov K.F., Margrave J.L. // J. Chem. Phys. 1967.
 V. 47. P. 3122. https://doi.org/10.1063/1.1712362
- Hildenbrand D.L., Lau K.H. // J. Chem. Phys. 1995.
 V. 102. № 9. P. 3769.
 https://doi.org/10.1063/1.468558
- 19. *Гурвич Л.В., Вейц И.В., Медведев В.А. и др.* Термодинамические свойства индивидуальных веществ. Спр. изд. в 4-х т. М.: Наука, 1978—1982.
- 20. *Никитин М.И.*, *Алиханян А.С.* // Журн. физ. химии. 2022. Т. 67. № 11. С. 1606.
- 21. *Kardahakis S., Koukounas C., Mavridis A.* // J. Chem. Phys. 2005. V. 122. № 5. P. 054312. https://doi.org/10.1063/1.1834912
- 22. Langhoff S.R., Bauschlicher C.W., Partridge H. // J. Chem. Phys. 1988. V. 89. № 1. P. 396. https://doi.org/10.1063/1.455481
- 23. *Соломоник В.Г., Муханов А.А.* // Журн. структур. химии. 2012. Т. 53. С. 34. https://doi.org/10.7868/S0040364415060174
- 24. *Kohn W.* // Rev. Mod. Phys. 1999. V. 71. P. 1253. https://doi.org/10.1103/revmodphys.71.1253
- 25. *Волохов В.М., Зюбина Т.С., Волохов А.В. и др. //* Журн. неорган. химии. 2021. V. 66. № 1. P. 69. https://doi.org/10.31857/S0044457X21010116
- 26. *Thorpe J.H., Lopez C.A., Nguyen T.L. et al.* // J. Chem. Phys. 2019. V. 150. P. 224102. https://doi.org/10.1063/1.5095937